

КРАТКИЕ СООБЩЕНИЯ

УДК 546.882; 549.46; 54.057

СТРУКТУРА НОВОГО ОКТАЭДРИЧЕСКОГО ФТОРИДНОГО КОМПЛЕКСА НИОБИЯ
 $(Me_4N)_2[Nb_6F_6Br_6(H_2O)_2Cl_4] \cdot 6H_2O$

© 2008 Н. Г. Наумов^{1*}, С. Кордье^{2*}, К. Перрэн², С. Б. Артемкина¹¹Институт неорганической химии им. А. В. Николаева СО РАН, Новосибирск²Университет Ренн-1, Ренн, Франция

Статья поступила 16 января 2008 г.

С доработки — 31 марта 2008 г.

По реакции замещения роданидных групп комплекса $K_4[Nb_6F_6Br_6(NCS)_6]$ в растворе соляной кислоты получен новый кластерный фторидный анион $[Nb_6F_6^iBr_6^iCl_4^a(H_2O)_2^{2-}]$, выделенный в виде соли $(Me_4N)_2[Nb_6F_6Br_6Cl_4(H_2O)_2] \cdot 6H_2O$ (пространственная группа $R\bar{3}m$, $a = 11,230(5)$, $c = 26,230(5)$ Å, $V = 2865(2)$ Å³, $Z = 3$, $R1 = 0,0362$, $R2w = 0,0886$). Анион содержит кластерное ядро $Nb_6F_6Br_6$ с упорядоченным расположением "внутренних" лигандов. Различие в радиусах атомов "внутренних" лигандов приводит к заметному искажению металлокластера вдоль оси третьего порядка.

Ключевые слова: ниобий, фториды, кластер, синтез, кристаллическая структура.

Химия кластерных фторидов ниобия долгое время была практически неизученной, и Nb_6F_{15} [1] в течение долгого времени был единственным примером кластерного фторида ниобия. Это соединение, имеющее полимерное строение, является инертным. Недавно были получены новые ниобиевые октаэдрические кластерные комплексы с координированными фторидными лигандами: $Nb_6F_{15-x}Y_x \cdot Na_2NbF_6$ ($Y = Cl, Br$), $Cs_2[Nb_6Br_5F_{12}]$, $Nb_6Br_8F_7$ и $Cs_4[Nb_6F_{8,5}I_{9,5}]$ [2—6]. Эти соединения, полученные по высокотемпературной реакции из Nb_6F_{15} в присутствии галогенидов металлов, уже являются более реакционноспособными по сравнению с исходным. Мы исследовали взаимодействие $Cs_4[Nb_6F_{8,5}I_{9,5}]$ ($Cs_4[Nb_6F_{8,5}^iI_{3,5}^iI_6^a]$) и $Cs_3[Nb_6Br_{12}]$ ($Cs_3[Nb_6F_6^iBr_6^iBr_6^a]$) с водным раствором роданида калия и получили два новых анионных комплекса $[Nb_6F_6^iX_6^i(NCS)_6]^{4-}$, $X = Br, I$, содержащих октаэдрические ниобиевые кластерные ядра $[Nb_6F_6^iX_6^i]^{2+}$ с упорядоченным расположением внутренних лигандов μ -F и μ -X [7]. В настоящей статье приводится синтез и кристаллическая структура нового фторидного комплекса ниобия $(Me_4N)_2[Nb_6F_6Br_6(H_2O)_2Cl_4] \cdot 6H_2O$, полученного по реакции замещения соли $K_4[Nb_6F_6Br_6(NCS)_6]$ в растворе 1M HCl с последующим осаждением в виде тетраметиламмонийной соли.

Экспериментальная часть. Исходное соединение $K_4[Nb_6F_6Br_6(NCS)_6]$ получали по описанной методике [7]. Для предотвращения окисления комплексов ниобия кислородом воздуха все эксперименты были выполнены в инертной атмосфере с использованием дегазированных растворов. Для удаления кислорода растворы кипятили в токе аргона в течение 1 ч с последующим охлаждением в токе аргона. Остальные вещества использовали без дополнительной очистки. Соотношение тяжелых элементов в полученных солях определяли методом энергодисперсионного рентгеновского анализа с помощью растрового электронного микроскопа JSM-

* E-mail: naumov@che.nsk.su, stephane.cordier@univ-rennes1.fr

6700F. ИК спектры образцов снимали в виде таблеток с бромидом калия в диапазоне 4000—375 cm^{-1} на спектрометре Scimitar FTS 2000.

Синтез $(\text{Me}_4\text{N})_2[\text{Nb}_6\text{F}_6\text{Br}_6(\text{H}_2\text{O})_2\text{Cl}_4] \cdot 6\text{H}_2\text{O}$ (1). 0,15 г $\text{K}_4[\text{Nb}_6\text{F}_6\text{Br}_6(\text{NCS})_6]$ растворяли в 10 мл 1 М HCl и кипятили 20 ч. Полученный коричневый раствор отфильтровывали от нерастворимых продуктов реакции. К раствору добавляли 60 мг Me_4NCl и медленно упаривали до начала образования кристаллического осадка. Выход 1 0,040 г (28 %). Соотношение тяжелых атомов, полученное в результате энергодисперсионного рентгеновского анализа кристаллов, согласуется с таковым, полученным из РСА: соотношение $\text{Nb:F:Cl:Br} = 6:5,8:4,1:6,1$ для $\text{C}_8\text{H}_{40}\text{Br}_6\text{Cl}_4\text{F}_6\text{N}_2\text{Nb}_6\text{O}_8$ (1). ИК (cm^{-1}): 493 ($\nu_{\text{Nb}-\text{F}}$); 1630 (δ_{HOH}); 3260пл., 3380 (ν_{OH}).

Рентгendifрактометрические исследования. Строение соли 1 определено методом рентгеноструктурного анализа. Параметры элементарных ячеек и интенсивности отражений получены при комнатной температуре по стандартной методике на автодифрактометре Nonius KappaCCD (графитовый монохроматор, $\lambda(\text{MoK}_\alpha) = 0,71073 \text{ \AA}$) с помощью программ COLLECT и DENZO программного обеспечения KappaCCD [8]. Структура 1 расшифрована прямым методом и уточнена полноматричным МНК в анизотропном приближении с помощью комплекса программ SHELX-97 [9].

Кристаллографические данные и основные параметры уточнения 1. Форма и размер кристалла: коричневая гексагональная пластинка размером $0,05 \times 0,05 \times 0,05$ мм, тригональная сингония, $a = 11,230(5)$, $c = 26,230(5) \text{ \AA}$, $V = 2864,8(19) \text{ \AA}^3$, пространственная группа $R-3m$, $Z = 3$, $d_{\text{вып}} = 3,021 \text{ г}/\text{см}^3$, $\theta_{\text{max}} = 27,45^\circ$, измерено 2925 F_{hkl} , в том числе 847 независимых наблюдаемых ($R_{\text{int}} = 0,0224$) в области индексов $-12 < h < 12$, $-14 < k < 14$, $-33 < l < 33$. Окончательные значения факторов расходимости: $R(F) = 0,0364$, $wR(F^2) = 0,0886$ для $719 F_{hkl} > 4\sigma(F)$, $R(F) = 0,0452$, $wR(F^2) = 0,0936$ для всех 2925 независимых отражений. GOOF = 1,147 для всех независимых рефлексов. $\Delta\rho_{\text{макс}}$ и $\Delta\rho_{\text{мин}}$ равны 0,92 и -0,67 соответственно.

Кристаллическая структура $(\text{Me}_4\text{N})_2[\text{Nb}_6\text{F}_6^i\text{Br}_6^i(\text{H}_2\text{O})_2^a\text{Cl}_4^a] \cdot 6\text{H}_2\text{O}$ представляет собой упаковку кластерных комплексов $[\text{Nb}_6\text{F}_6^i\text{Br}_6^i(\text{H}_2\text{O})_2^a\text{Cl}_4^a]^{2-}$ и катионов Me_4N^+ (рис. 1, см. таблицу). Исследование кристаллической структуры показало, что центросимметричный кластерный анионный комплекс $[\text{Nb}_6\text{F}_6^i\text{Br}_6^i(\text{H}_2\text{O})_2^a\text{Cl}_4^a]^{2-}$ имеет строение, типичное для комплексов $[\text{M}_6\text{Y}_{12}^i\text{L}_6^a]^{n-}$ (рис. 2). В нем металлокластер Nb_6 окружен двенадцатью "внутренними" лигандаами, координированными по μ_2 -типу. Шесть бромидных и шесть фторидных лигандов упорядочены во внутренних позициях кластерного ядра. Шесть μ -F лигандов расположены в плоскости, образуя кольцо F_6 между двумя треугольниками Nb_3 , которые координированы по ребру μ -Br лигандами. Межатомные расстояния $\text{Nb}-\text{Nb}$ в октаэдре составляют 2,8173(10) и 2,9047(16) \AA ; шесть коротких расстояний соответствуют ребрам октаэдра, координированным атомам фтора, шесть длинных — координированным атомам брома. Среднее расстояние $\text{Nb}-\text{Nb}$ равно 2,861 \AA и лежит между найденными в Nb_6F_{15} (2,80 \AA) и в соединениях на основе кластерного комплекса $[\text{Nb}_6\text{Br}_{18}]^{4-}$, например в $\text{CsErNb}_6\text{Br}_{18}$ (2,954(1) \AA) [10]. Кластерное ядро $\text{Nb}_6\text{F}_6\text{Br}_6$ координировано шестью апикальными лигандами: атомами хлора и кислорода (молекул воды). Высокая симметрия решетки ($R-3m$) приводит к тому, что в структуре имеется лишь одна позиция ниобия и позиции атомов кислорода и хлора разупорядочены, причем позиция каждого терминального лиганда занята хлором и кислородом на 2/3 и 1/3 соответственно (на рисунке показаны только атомы хлора для ясности), что согласуется с данными химического анализа и балансом зарядов. Длины связей $\text{Nb}-\text{Cl}$ и $\text{Nb}-\text{O}(\text{H}_2\text{O})$ составляют 2,550(7) и 2,24(3) \AA соответственно.

Различие в длинах связи $\text{Nb}-\text{Nb}$ приводит к сильному сжатию октаэдра вдоль оси третьего порядка. Такой тип искажения характерен для кластерных комплексов с ядрами $[\text{M}_6\text{X}_6^i\text{Y}_6^i]$ и $[\text{M}_6\text{X}_9^i\text{Y}_3^i]$, имеющими идеализированную симметрию D_3 с "внутренними" лигандами, сильно

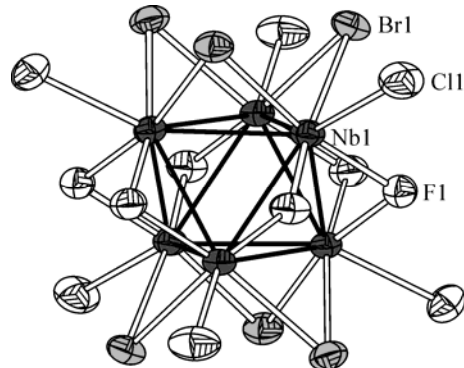
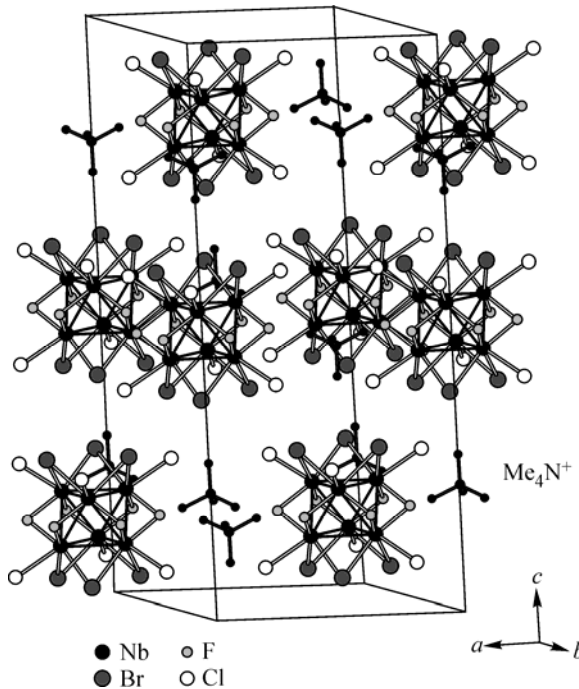


Рис. 1 (слева). Мотив упаковки кластерных комплексов $[\{Nb_6F_6Br_6\}Cl_4(H_2O)_2]^{2-}$ и катионов Me_4N^+ в структуре 1. Атомы водорода опущены

Рис. 2 (справа). Строение кластерного комплекса $[\{Nb_6F_6Br_6\}Cl_4(H_2O)_2]^{2-}$ в структуре 1 (тепловые эллипсоиды 40%-й вероятности). В качестве концевых лигандов (Cl1) атомы хлора и кислорода воды с заселенностью 2/3 и 1/3 соответственно

отличающимися по размеру, например $(Et_4N)_6[Nb_6F_6Br_6(NCS)_6]^aBr_2$ и $Cs_{1,6}K_{2,4}[Nb_6F_6I_6(NCS)_6]^a$ [7], $PbLu_3Nb_6Cl_{15}O_6$ [11], $(Bu_4N)_2[W_6O_6Cl_{12}]$ [12], $Cs_5[Nb_6Cl_9O_3(CN)_6]$ [13] и $Cs_2LaT_6Br_{15}O_3$ [14].

В заключение следует заметить, что число кластерных соединений с мостиковыми фторидными лигандами крайне незначительно. Например, Кембриджская база данных (release 5-28, November 2006) содержит лишь пять примеров таких соединений, что, несомненно, говорит о крайне малой изученности кластерных фторидов. Получение нового кластерного фторидного комплекса $[Nb_6F_6Br_6Cl_4(H_2O)_2]^{2-}$ открывает путь к реакциям лигандного обмена, характерным для кластерных комплексов ниобия и, как следствие, большому числу новых комплексов с кластерными ядрами, содержащими мостиковые фторидные лиганды. Сравнительное изучение строения и реакционной способности фторидных комплексов и комплексов с другими лигандами позволит понять причину столь малой распространенности кластерных фторидов и глубже исследовать свойства таких соединений.

Работа выполнена при поддержке гранта Российского фонда фундаментальных исследований 06-03-89503-ННС_а и гранта РЕСО-НЕИ № 370 (Франция).

Основные длины связей d (Å) и величины углов ω (град.) в комплексе $[Nb_6F_6Br_6Cl_4(H_2O)_2]^{2-}$

Связь	d	Угол	ω	Угол	ω
Nb1—Nb1a	2,8173(10)	F—Nb—F	91,62(3)	Nb—Br—Nb	67,59(3)
Nb1—Nb1c	2,9047(16)	Nb—F—Nb	85,36(14)	Cl—Nb—Br	84,37(14)
Nb1—F ⁱ	2,078(3)	Nb1—Nb1a—Nb1b	90,00	F—Nb—Cl	82,11(15)
Nb1—Br ⁱ	2,6110(9)	Nb1a—Nb1c—Nb1b	62,06(3)		
Nb1—Cl	2,550(7)	Nb1a—Nb1e—Nb1c	58,967(16)		
Nb1—O(H ₂ O)	2,24(3)				

СПИСОК ЛИТЕРАТУРЫ

1. *Schafer H., von Schnering H.G., Niehues K.J. et al.* // *J. Less-Common Met.* – 1965. – **9**. – P. 95 – 104.
2. *Cordier S., Perrin C.* // *J. Solid State Chem.* – 2004. – **177**, N 3. – P. 1017 – 1022.
3. *Cordier S., Hernandez O., Perrin C.* // *Ibid.* – 2002. – **163**, N 1. – P. 319 – 324.
4. *Cordier S., Hernandez O., Perrin C.* // *Ibid.* – 2001. – **158**, N 2. – P. 327 – 333.
5. *Cordier S., Hernandez O., Perrin C.* // *J. Fluorine Chem.* – 2001. – **107**, N 2. – P. 205 – 214.
6. *LePolles L., Cordier S., Perrin C. et al.* // *C. R. Acad. Sci. Ser. II C.* – 1999. – **2**, N 11-13. – P. 661 – 667.
7. *Naumov N.G., Cordier S., Perrin C.* // *Chem. Commun.* – 2004. – N 9. – P. 1126 – 1127.
8. *COLLECT* KappaCCD software, Nonius BV, Delft, The Netherlands, 1998.
9. *Sheldrick G.M.*, SHELLX-97 release 97-2. – University of Goettingen, Germany. 1997.
10. *Cordier S., Perrin C., Sergent M.* // *Z. Anorg. Allg. Chem.* – 1993. – **619**, N 4. – S. 621 – 627.
11. *Gulo F., Roisnel T., Perrin C.* // *J. Mater. Chem.* – 2001. – **11**, N 4. – P. 1237 – 1241.
12. *Crawford N.R.M., Long J.R.* // *Inorg. Chem.* – 2001. – **40**, N 14. – P. 3456 – 3462.
13. *Naumov N.G., Cordier S., Perrin C.* // *Angew. Chem. Int. Ed.* – 2002. – **41**, N 16. – P. 3002 – 3004.
14. *Cordier S., Perrin C., Sergent M.* // *J. Solid State Chem.* – 1995. – **120**, N 1. – P. 43 – 48.